

Transkranial Doppler ve Nöroşirürjide Klinik Uygulamaları

Transcranial Doppler And Its Applications in Neurosurgery

KAYA KILIÇ, BEHİC TÜMER, NEŞE KESER, AŞKIN GÖRGÜLÜ, MAHİR TEVRUZ

Haydarpaşa Numune Hastanesi, Nöroşirürji Kliniği, İstanbul

Özet : Transcranial Doppler (TCD) beyin bazal arterlerinde kan akım hızını ölçen non invazif, hasta başında uygulanabilen, tekrarlanabilir, ucuz bir tettikidir. Burada TCD'in çalışma prensibi ve tettikinin nasıl yapılacağı açıklanmaktadır. değişik lezyonlarda TCD uygulamasından örnekler verilmekte, sonuçlar tartışılmaktadır. 34 cerebro-vasküler aksidan (CVA), 14 subaraknoid kanama (SAK), 4 arterio-venöz malformasyon (AVM), 37 posttravmatik beyin ödemi, 30 beyin ölümüne ait toplam 119 olgunun TCD verileri prospектив bir araştırmadan ilk sonuçları olarak sunulmaktadır.

Anahtar Kelimeler: Transcranial Doppler, Serebrovasküler Hastalık, Vazospazm, Kafa Travması, Beyin Ölümü

Summary : Transcranial Doppler (TCD) is a noninvasive test used in monitoring blood velocities in basal intracranial arteries. It uses small, portable and inexpensive equipment. In this report the authors describe the principles of ultrasound Doppler sonography, explain the technique of TCD investigation, give examples of TCD sonography in different types of lesions and discuss the results. The data relative to 34 cerebrovascular accident (CVA) 14 subarachnoid hemorrhage (SAH), 4 arteriovenous malformation (AVM), 37 posttraumatic brain swelling, 30 brain death are presented as the preliminary results of a prospective study.

Key Words : Transcranial Doppler, Cerebrovascular Disease, Vasospasm, Head Injury, Brain Death

GİRİŞ

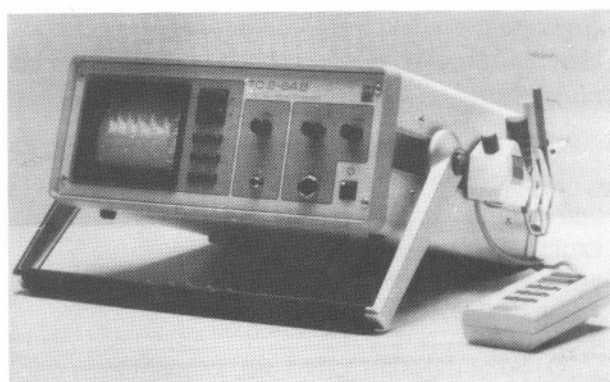
Transcranial Doppler (TCD) beyin bazal arterlerinden **kan akım hızını**, dolayısıyla hemodinamiği inceleyen non invazif, hasta başında uygulanabilen, tekrarlanabilir, ucuz bir tettikidir.

TCD'in kullanımı Aaslid'in 1982 yılında yaptığı yayından sonra yaygınlaşmış (1), 1986 dan itibaren değişik klinik uygulamaları bildirilmeye başlanmıştır. TCD 1991 yılından beri Haydarpaşa Numune Hastanesi Nöroşirürji Kliniği'nde değişik patolojilerde tanı ve takip yöntemi olarak kullanılmaktadır: çeşitli etiolojlere bağlı vazospazm, serebrovasküler stenoz/oklüzyon, vertebral-baziler yetmezlik, kafa travması, beyin ödemi, beyin ölümü...

Bu çalışmamızın amacı Doppler cihazının çalışma prensipleri ve uygulama teknigi hakkında bilgi vermek ve kliniğimizdeki uygulamanın ön sonuçlarını sunmaktır.

MATERİYEL VE METOD

Bu çalışmada kullanılan cihaz TC 2-64 Transcranial Doppler'dir. (Eden Medizinische Elektronik GmbH (EME), Ueberlingen, Almanya) (Şekil 1).



Şekil 1 : TC 2-64 Transcranial Doppler cihazı.

Pulse Doppler cihazında düşük frekanslı (2 MHz lik) ve yüksek enerjili (100 mW/cm²) tek bir prob kesintili (pulse) olarak ultrason yayını yaparak hem kaynak, hem de geri yansıyan dalgayı algılayan kaydedici görevini yapar. Cihaz bu iki dalganın frekansları arasındaki farktan (Doppler şifti) hareket halindeki yansıtıcının, yani eritrositlerin, hızını bulur ve bunu spektrum analizi ile görüntüye çevirir. Bu durum şu şekilde formüle edilir:

$$f_2 - f_1 = F = 2 f_1 V/c$$

f_2 : geri yansıyan dalganın frekansı

f_1 : yayınlanan ultrason dalgasının frekansı

F : yayınlanan/geri yansıyan ultrason dalgalarının frekansları farkı (Doppler şifti)

V : yansıtıcının (eritrositlerin) hızı

c : ultrason dalgasının yumuşak dokudaki hızı (1u40 m/san.)

Diğer bir ifadeyle ultrason kaynağından yayılan sinyaller hareket halindeki partiküllere (akım halindeki eritrositlere) çarpıp geri yansındığında, giden ve geri dönen sinyallerin frekansları arasındaki fark (Doppler şifti), ultrason dalgasının çarptığı hareket halindeki partikülün (eritrosit) hızı ile doğru orantılıdır (3). Bir bilgisayar programı Doppler sinyallerinden sistolik (VS), diastolik (VD) ve ortalama akım hızı (Vm) ile pulsatilite endeksini (P.I.) bulur : P.I. = (VS - VD) / Vm

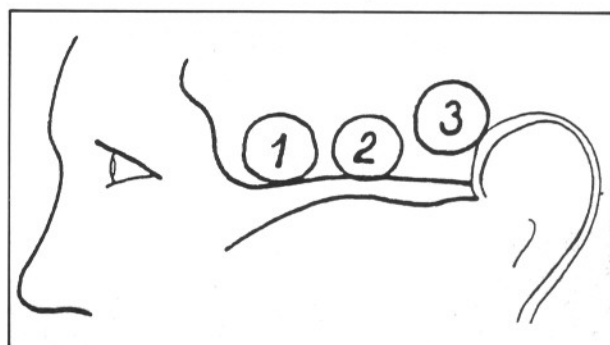
Pulse Doppler'de sadece probun ucundan belli bir mesafe uzaklıktaki Doppler şiftleri ve dolayısıyla sadece o derinlikteki damar parçasının içinden geçen kanın hızı öğrenilir, bunu, ultrason yayının pulse (kesintili) olarak yapılması sağlamaktadır.

Doppler sinyalleri 25 ile 150 mm. arasındaki derinliklerden elde edilebilir, böylece temporal skuamasi çokince kişilerde tek taraftan her iki hemisferde ulaşmak mümkün olabilir (Şekil 9). Ekranda sıfır çizgisinin üstündeki frekanslar proba doğru gelen kan akımına, altındaki ise probdan uzaklaşan kan akımına aittir.

Vakaların %5-20 sinden, özellikle 60 yaş üstü kadınlardan hiperostoz nedeniyle sinyal alınamayabilir. Halsey sinyal alınmama sıklığını 70 yaş üstündeki erkeklerde %7,5, beyaz kadınlarda %29, siyah erkeklerde %33, siyah kadınlarda %73 olarak bildirmiştir (16).

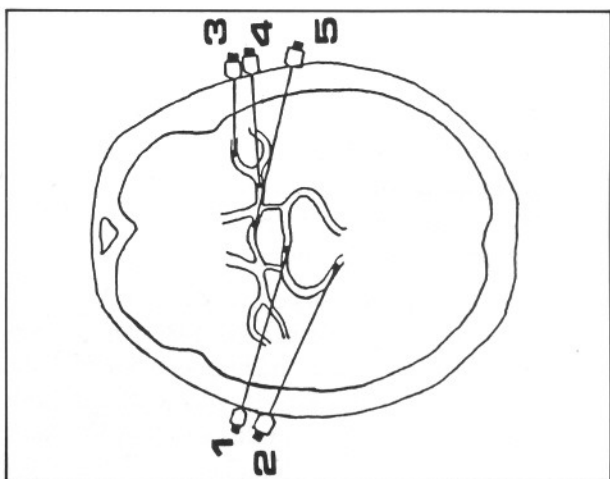
Doppler dalgaları kafatasını, kemiğin en inceldiği bölgelerden, yani A)temporal kemiğin skuamasını-

dan, B) orbitadan ve C) foramen magnumdan geçebilirler. Temporal ve orbita pencereleri için hasta sırt üstü yatar, foramen magnum penceresi için ise oturur pozisyondadır. Ajite, hareketli hastalarda bu tetkik yapılamaz.



Şekil 2 : Temporal skuamadaki kemik pencerelerde tetkikin yapıldığı noktalar

A) Arcus zygomaticus'un üzerinde, dış kulak yolu ile orbita arasında kalan temporal skuamadan (Şekil 2) A1, M1, M2, carotis'in supraclinoid kısmı, ACoA, P1, P2, PCoA incelenir: 3-5pcm. derinlikte M1, M2 akımı proba doğru, 6-7 cm. derinlikte supraclival nodid carotis akımı proba doğru, 6-8 cm. de A1 akımı probdan uzaklaşan, 7-8 cm. de ACoA ve bilateral A1 lerdeki akım bidireksiyonel, dış kulak yolunun hemen üzerinden arkaya doğru olarak 5-6 cm. derinlikte P1 akımı proba doğru, P2 akımı probdan uzaklaşan akımlar şeklinde izlenirler (Şekil 3).



Şekil 3 : İncelenen damara göre probun aldığı yönler. 1:P1, 2:P2, 3:M2, 4:M1, 5:A1

B) Transorbita olarak carotis sifonu ve a. ophtalmica incelenir. Enerji en aza (%10) indirilir ve hasta gözü kapalı olarak iç yana doğru bakarken globus үzerinden infero-medial yönde inceleme yapılır. Caro-

tis sifonu akımı 6-7 cm. derinlikte, a. ophtalmica'ninki ise 3-5 cm. derinlikte proba doğru olarak izlenir.

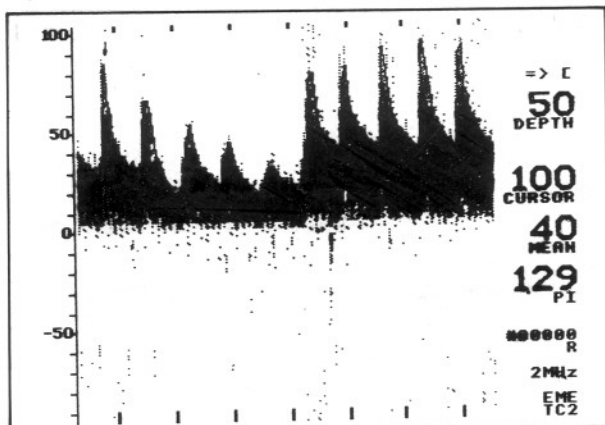
C) Foramen magnum penceresinden tetkik yaparken hasta oturur pozisyondadır, baş hafif fleksiondadır. Mastoid çıkıştı medialinden, 4-6 cm. derinlikte probdan uzaklaşan vertebral arter akımı, 6-10 cm. derinlikte ,orta hatta yine probdan uzaklaşan bazı arter akımı izlenir.

Serebral arterlerin belirlenmesinde 3 veriden yararlanılır:

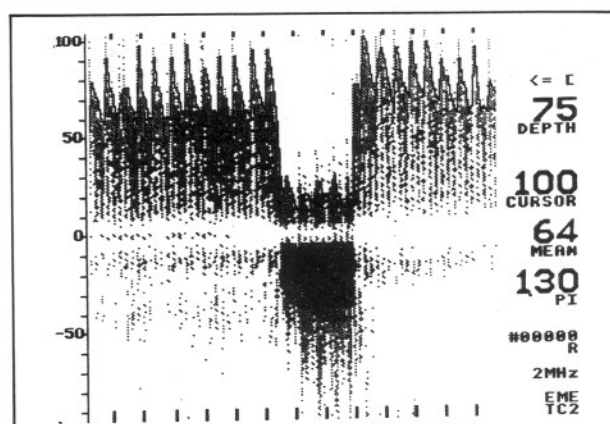
1 – Probun yönü ve sinyalin alındığı derinlik yardımıyla incelenen arter hakkında ilk veriler elde edilir: arcus zygomaticusun $\frac{1}{3}$ orta bölümünde 30-50mm derinlikte MCA, 65 mm derinlikte A1 veya karotis sifonu vardır. 50mm derinlikte prob öne doğruysa MCA, arkaya doğruysa P1, P2 akımları alınır.

2 – Akımın probayaklaşması veya probtan uzaklaşması sinyal alınan arterin adı hakkında ek bilgi sağlar. Örneğin arcus zygomaticusun $\frac{1}{3}$ önünde 65 mm de proba doğru akımın carotise, prob dan uzaklaşanın A1 e ait olması kuvvetle muhtemeldir.

3 – Boyunda ipsilateral ve kontralateral carotis kompresyonunun sinyalin amplitüt ve yönünde yaptığı değişiklikler ile sinyal alınan arterin hangisi olduğu kesinlik kazanır; örneğin 70 mm derinlikte ipsilateral carotisin boyunda kompresyonu ile yön değiştiren, kontralateral carotis kompresyonu ile amplitüdü 2-3 kat artan A1 dir ve ACoA fonksiyoneldir (Şekil 4 ve 5)



Şekil 4 : Carotis'in boyunda kompresyonunda ipsilateral MCA'de akım yavaşlamaktadır.



Şekil 5 : Carotis'in boyunda kompresyonunda ipsilateral A1'de akım, O çizgisinin ters tarafına geçmeye, yani A1'deki akımın yönü, kan ACoA'den geldiği için ters yönde olmaktadır, proba doğru gelmektedir. Böyle bir yön değişimi görülmemezse ACoA'in fonksiyonel olmadığı anlaşılır.

Erişkinde Normal Değerler:

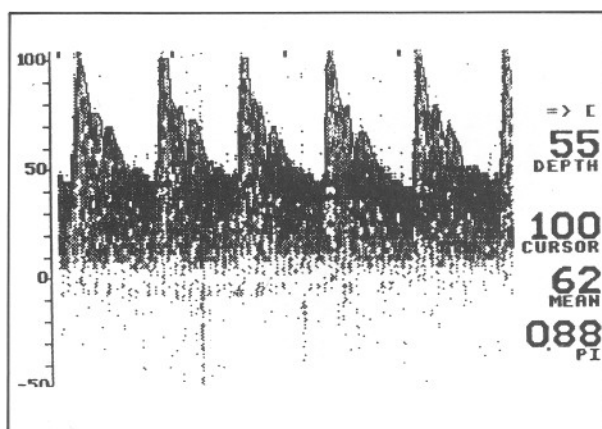
Nabız, total periferik rezistans, aortik komplians gibi kardiovasküler parametrelere daha az bağımlı olan Vm, güvenilirlik açısından sistolik ve diastolik değerlerden daha üstündür.

MCA: Vm	= 62 + 12 cm/s (1)
ACA: Vm	= 51 + 12 cm/s (1)
PCA: Vm	= 44 + 11 cm/s (1)
BA: Vm	= 39 + 9 cm/s (18)
OphA: Vm	= 21 + 5 cm/s (40)
Carot. Sifon: Vm	= 57 + 17 cm/s (19)

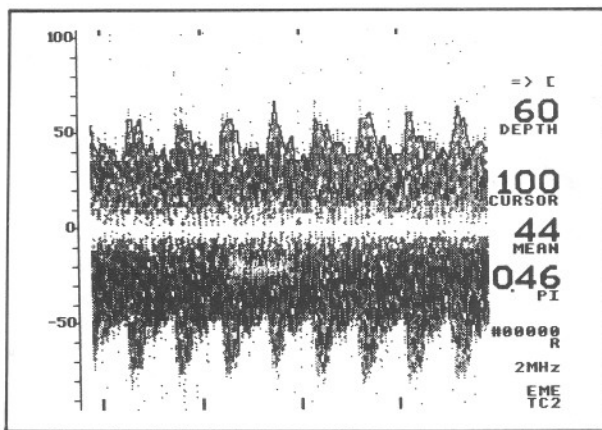
Sağ-sol hemisferler arasında ve kadın erkek arasında fark yoktur. Yaşlandıkça ortalama hızın tüm arterlerde azaldığı bilinmektedir. 70 yaş üstü ile 30 yaş altındaki erişkinler arasındaki hız farkı %33'ü bulmaktadır. (15)

Kan akım hızı, yaşdan başka hematokrit, PaCO₂, kardiak output, beyin dokusunun çalışma derecesi, CBF (Beyin Kan Akımı), sistemik tansion, ICP (Kafa İçi Basıncı), kan viskozitesi, kollateral dolaşımının durumu, otoregülasyonun durumu gibi değişkenlere bağlıdır.

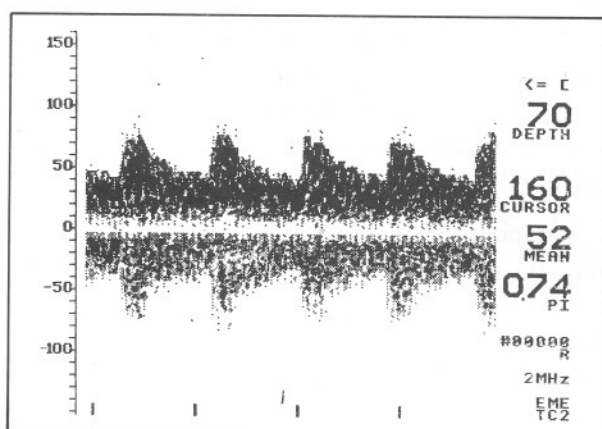
Erişkinlerden elde edilen normal TCD trase'lerine ait örnekler (Şekil 6, 7, 8, ve 9)'da görülmektedir.



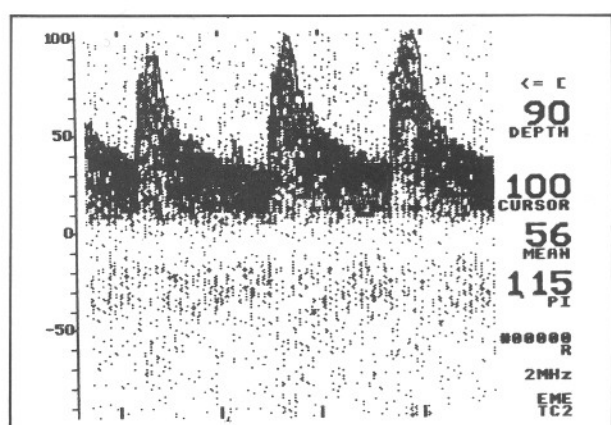
Şekil 6: Normal trase. 55 mm derinlikte (MCA) akım hızı 62 cm/s, ve PI 0,88 dir.



Şekil 7: Normal trase. 60 mm derinlikte M1/A1 bifürkasyonunda bulunulduğundan trase bidireksyoneldir. M1 akımı proba doğru gelmekte (0 çizgisinin üstündeki trase) hızı 44 cm/s ve PI 0,46 dir; A1 akımı ise probdan uzaklaşmaktadır (0 çizgisinin altındaki trase).



Şekil 8: Normal trase. 70 mm derinlikte ACoA seviyesinde sağ ve sol A1'lere ait akımların aynı anda kaydedildiği bidireksyonel trase.



Şekil 9: Normal trase. 90 mm derinlikte karşı tarafın M1 akımı incelenmektedir.

BULGULAR

TCD'in kullanım alanı gittikçe genişlemektedir: Tikayıcı intrakranial damar lezyonları SAK sonrası serebral vazospazm ve AVM hemodinamigi Posttravmatik ödem ve Beyin ölümü, Willis poligonunun kolateral kapasitesinin tetkiki, Migrende hemodinamik değişikliklerin izlenmesi Perop olarak: - kalp cerrahisi (Kardiopulmoner by-pas, Hipo veya hiper perfüzyon takibinde) - nöroşirürji (anevrizma, temporo-sylvian anastomoz) - carotis endartektomileri (tehlükeleri bilinen şantların gereksiz kullanımını objektif parametrelere bağlayacaktır.)

Temporo-sylvian anastomoz takibinde STA compresyon testi (18). Önleyici hekimlikte CVA riskini araştırmak amacıyla karbondioksit, acetazolamide ile beyinin hemodinamik cevabını incelemek

Bu çok değişik uygulama alanları içinde TCD'e en sık olarak şu amaçlarla başvurduklar:

- Değişik etiolojilere bağlı (SAK, travma) VAZO-SPAİZM'in tanı ve takibi
- AVM tetkiki
- V/B yetmezlik, CVA tanı ve takibi (stenoz/oklüzyon)
- Post travmatik beyin ödemi, beyin kontüzyon takibi
- Klinik beyin ölümü teşhisinin konfirmasyonu

Bu arada bazı migren olgularında da TCD'den yararlandık, ancak bu konuda sağlıklı bir yorum için yeni araştırmalara, ek verilere ve deneyim birikimi- ne ihtiyaç olduğunu düşünmektediyiz.

TCD ile izlediğimiz potolojileri üç ana grupta topladık:

- 1 – Intracranial tıkalıcı damar lezyonları (CVA)
- 2 – SAK sonrası serebral vazospazm ve AVM hemodinamisi
- 3 – Post travmatik KİBAS (Kafa İçi Basınç Artışı Sendromu) ve Beyin ölümü

Serimizdeki hasta dağılımı şöyledir:

34 CVA
14 SAK
4 AVM
37 Beyin ödemci
30 Beyin ölümü

Toplam 119 olgu

Bu olgular, devam etmekte olan prospектив çalışmalarımızın ilk serisini oluşturmaktadır.

4 olguda hiç sinyal alınamamıştır. (%3 : 3 kadın, 1 erkek) Bu hastaların yaş ortalaması 66,5 dir ve bu eğrilenen tüm hastaların yaş ortalamasının üzerindendir. Bu durum yaşlılarda ve özellikle kadınlar da temporal kemiğin Doppler sinyallerine olan geçirgenliğinin azalması hatta kaybolması ile açıklanmaktadır.

1 – Intrakranial tıkalıcı damar lezyonları (CVA)

Doppler ile CVA geçirmiş 34 hastanın 6'sında intrakranial tıkalıcı lezon saptanmıştır (%17 : 4 MCA, 2ICA de). MCA stenozlarında ortalama hızda (V_m) artış, stenoz distalinde ise yavaşlama gözlenmiştir. Willis poligonuna TCD'yle doğrudan ulaşmak, poligonun fonksiyonel yapısını incelemek ve bunu hastaya hiçbir zarar vermeden yataktaki basınçunda yapabilmek sistemin avantajlarındandır.

Pozisyonel vertigo, göz kararması ve drop atak tariif eden 58 ve 64 yaşlarında 2 erkek hasta V/B yetmezlik tanısı ile TCD yapılmak üzere servisimizde incelenmiştir. Birinci hastada başın sağa rotasyonunda, diğerinde başın ekstansiyon ve rotasyonunda TCD'de vertebral artere ait sinyaller kaybolmuş ve bu pozisyondayken hastalar şikayetlerinin ortaya çıktığını bildirmiştirlerdir. Böylece patolojinin muhtemelen dominant olan vertebral arterin boyunda basisına bağlı olduğu noninvazif olarak gösterilmiştir.

2 – SAK sonrası serebral vazospazm ve AVM hemodinamisi

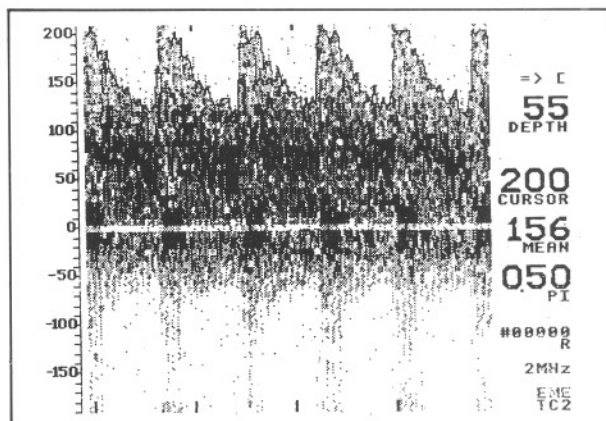
Anevrizma rüptürü nedeniyle takip ve tedavi edi-

len 14 olgu ve AVM tesbit edilen 4 hastada TCD tetkiki yapılmıştır. CT, Anjio ve TCD ile takip edilen 14 SAK'lı 14 hastalık bu ön çalışmada tüm hastalar:

- servise yattıkları 1. gün,
- kararlaştırılan anjiodan önceki gün,
- saptanan ameliyattan önceki gün,
- nörolojik durumlarında bir farklılık saptadığımız anda ve
- taburcu olmalarından 1 gün önce TCD ile incelenmişlerdir.

Bilateral olarak bazal arterlerin tamamı incelenmiş, MCA ve ACA takip için kaydedilmiştir. Çalışmamızda alamadığımız bir olguda (ACoA anevrizması, 62 yaşında kadın) hiç sinyal alınamamıştır.

Bir tübüñ içinden akan sıvayı inceleyen Hagen-Poiseuille kuralına göre ($V = P \cdot r^2 / 8 \cdot E \cdot I$, burada V : akım hızı, P : tübüñ başı ile sonundaki basınçların farkı, r : tübüñ yarıçapı, E : sıvının akişkanlığı, I : tübüñ uzunluğu) bir damar daraldığında aynı miktar kanın daralmış lümenden geçebilmesi için süratinin artması gerekmektedir. (6) Hızdaki bu artış TCD ile kaydedilir (Şekil 10). Akım hızı damar çapının karesi ile ters orantılı olduğundan bazen "spazm tanısında TCD, angiografiden daha duyarlıdır" (2)



Şekil 10 : SAK sonrasında gelişen MCA spazmi (55 mm derinlikte akım hızı 156 cm/s ve PI 050 dir).

TSD sonuçlarına göre 6 olguda anjio, 4 olguda da ameliyat önceden belirlenen günlerde yapılmayı ertelemiştir : MCA'de $V_m > 110$ cm/s olması veya spazmda çözülmenin başlaması beklenmiştir. Vakalarda saptanan spazm oranı %71'dir (MCA $V_{mp} < 110$ cm/s). İlk kanamayı takip eden ilk üç günde iki olguda (%14), 7-10 gün arasında 8 olguda (%57) spazm saptanmıştır. MCA'de spazm ACA'den daha sık

görülmüştür : v olguya karşı 3 olgu. Subarknoid me- safedeki kanın miktarı arttıkça, spazmın görülme sı- klığı ve şiddeti de artmıştır.

TCD ile takip edilen 2 occipital, 2 temporo parietal AVM'de besleyici damarlarda normalin üzerinde hızlı akım görülmüştür. Bu durumdan regülatör kapiller yatağın bulunmamasının sorumlu olduğu ileri sürülmüştür. (19) AVM tarafından A1 ve PCA'de akımın steal fenomeni nedeniyle ters yönde olması, veya kontralateral hemisfer akımlarının azalması gibi bulgular olgularımızda mevcut değildir.

Bu sonuçlara göre sıkılıkla ve kolayıkla tekrarlanabilen Doppler'in, ilk üç günü geçirdikten sonra, spazm tehlikesi bulunan dönemde servisimize yollanan hastalarda anjiografinin ve ameliyatın zamanlanması açısından faydalı bilgiler sağladığını söyleyebiliriz.

3 – Post travmatik KİBAS ve beyin ölümü

Post travmatik beyin kontüzyonu ve beyin ödeminde, intrakranial basınç artışına bağlı akım değişmelerinin takibinde ve majör fatal intrakranial basınç artışının devamı olan beyin ölümünün tesbitinde TCD'in yerini araştırdık. Bu amaçla travma sonrası şuur bozukluğu olan, CT de beyin ödemini saptanan 37 olgu izlendi. Bunların 30unda CT de hemorajik kontüzyon intraserebral hematom mevcuttu, 7 sinde ise kontüzyon olmaksızın diffüz sulcus ve lateral ventrikül silinmesi, bazal sisterna kaybolması ile karakterize ödem vardı.

Diğer taraftan çeşitli patolojilere bağlı olarak yoğun bakımda takip edilen 30 olguda TCD'in eksitusdan önceki beyin ölümüne ait spesifik ve irreversible işaretlerini saptamaya çalıştık.

Çalışmanın bu bölümünde hemorajik kontüzyon ve diffüz beyin ödeminin TCD ile takibi ve TCD verilerinin (PI, Vm) Glasgow Coma Scale (GCS) ve прогноз ile olan ilişkileri araştırılmıştır. GCS'si 3 ile 11 arasında değişen ağır kafa travması geçirmiş 37 hasta takip edildi. Doppler takibine ilk 48 saatte başlandı ve hasta taburcu veya ex oluncaya kadar devam edildi. MCA de 11p cm/san. üzerindeki hızlar vazospazma bağlı olarak kabul edildi.

Travmadan sonra vazospazm görülmesi birçok kezreler bildirilmiştir. (9,12,14,25,30,31,35,43,44,48,49). Post travmatik akım hızlarındaki artış arter çapının

azalmasına bağlı olabileceği gibi intrakranial kan hacmindeki artışa da bağlı olabilir.

Bu son durumu incelemek amacıyla geliştirilen MCA/ICA endeksinin faydalı olduğu ileri sürülmüşdür. (45) 31 erkek ve 6 kadın hasta geçirdikleri ağır kafa travmasını takiben servisimize getirildiler. Yaşları 18 ile 84 arasında idi. Girişte GCS 3 ile 11 arasında bulunuyordu. Hastaların tümüne CT yapıldı. 30 olguda hemorajik kontüzyon vardı. 7 olguda ise yaygın beyin ödemı saptandı. Hastaların 3 tanesi ameliyat edilerek dekompreşyon sağlandı. (2 Akut Subdural Hematom, 1 intraserebral hematom) Tüm hastalar yoğun bakıma alındı ve hiperventilasyon, manitol, barbitürat ile tedavi ve takip edildi. Htc, sistemik kan basıncı, PaCO₂ takip edildi. Bilateral MsA, akım hızları kaydedildi. Bu değerler hastaların çoğunda PaCO₂ 25-30 mm Hg arasında iken ölçüldü. Tüm bu ağır hastalarda Doppler verilerinin anjiografi ile teyid edilmesi, bilimsel olarak arzu edilmesi ne rağmen etik dayanaktan yoksundu.

ICP arttıkça PI yükseldi ve aynı zamanda VMCA düştü.

Her iki grup GCS ve yaş açısından benzerlikler gösteriyordu.

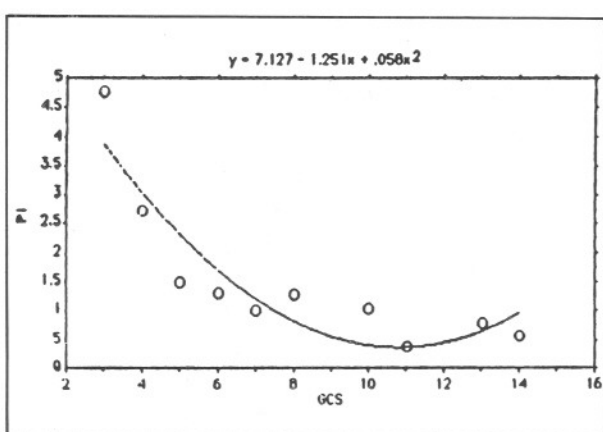
Spazm ilk 48 saatte başladı (SAK'a bağlı spazm dan farkı), 5-7. günde maksimum oldu. Ancak spazmın şiddeti sisternal kan miktarı ile yakından ilgiliydi (SAK'a bağlı spazma benzerlik) (45).

Başlangıç PI < 2 olan hiç bir hasta kurtulmadı. Her iki hemisferde ölçülen PI'ler arasında belirgin bir farkın bulunduğu 12 olgunun 9'unda yüksek PI lezyon tarafında idi.

Aynı şekilde her iki hemisferden alınan ve VMCA değerlerinin belirgin olarak farklı bulunduğu 9 olgunun 8'inde düşük akım hızı, lezyon tarafında idi.

Bu bulgular, ICP kritik seviyelere yaklaşıkça (öncelikle lezyon tarafında olmak üzere) PI'nin yükseliği ve VMCA'ın düşüğü şeklindeki yayınlar ile uyum içindedir (45).

37 hastada TCD ile değişik zamanlarda 49 ölçüm yapılmıştır. PI değerleri ile hastaların o andaki GCS'leri arasında ters yönde ileri derecede ilişki vardır: korelasyon katsayıısı $r = -0,914$ ve düzeltilmiş $r^2 = 0,788$ olarak bulunmuştur (Şekil 11).



Şekil 11 : GCS ile PI arasındaki yakın ilişkiyi gösteren dağılm eğrisi.

Ölüm anındaki GCS

Ölüm anındaki GCS	Ortalama PI değeri
3	4.78
4	2.72
5	1.5p
6	1.30
7	1.10
8	1.29
10	1.03
11	0.38
13	0.78
14	0.58

GCS 3-7 arasında olan 31 hastanın 28'i ex olmuştur. Şifa ile taburcu olan 3 vakadan hepsi de GCS 6 idi ve r'si 30. 1'i 35 yaşında genç hastalardır. GCS 8-11 arasında olan 6 hastanın 3'ünü kaybettik : 2 tanesi 76 yaşında, bir tanesi 82 yaşında idi. Bu sonuçlar GCS'in ve yaşın prognozdaki bilinen önemlerini vurgulamaktadır.

Olgularımızın sadece 2 tanesinde (%5,4) vazo-spazm sınırını zorlayan 100 ve 132 cm/s'lik hızlar saptanmış olup, literatürde bildirilen %5-41 oranları ile uyum içindedir. Bu iki olguda da sağ frontal bölgede hemorajik kontüzyon bulunup, sağ hemisfer akımı soldan daha hızlı idi.

37 hasta içinden şifa ile taburcu olan 6 olgunun PI'leri incelediğinde, bunlarda gerçekleştirilen çeşitli ölçümlerde elde edilen PI'lerin ortalama değerinin 1,3 olduğu ve hiçbirinden PIMCA değeri olarak 1,82'nin üzerinde bir değer alınmadığı gözlenmiştir.

Sonuç olarak TCD'in kafa travmalarında GCS ile beraber değerlendirildiğinde prognozu belirleme açı-

sindan önemli yararlar sağladığı, hasta yaşından da prognozda önemli bir rol oynadığı görülmüştür.

GCS da kritik 6-8 bölgésine uyan $P_y=1,3$ ve öz el-likle GCS 5'e uyan PI'nin 1,50 değeri bizse kritik de-ğer olarak kabul edilmiş, ve bunun üzerindeki PI değerlerinde prognozun kötü olduğu düşünülmüştür.

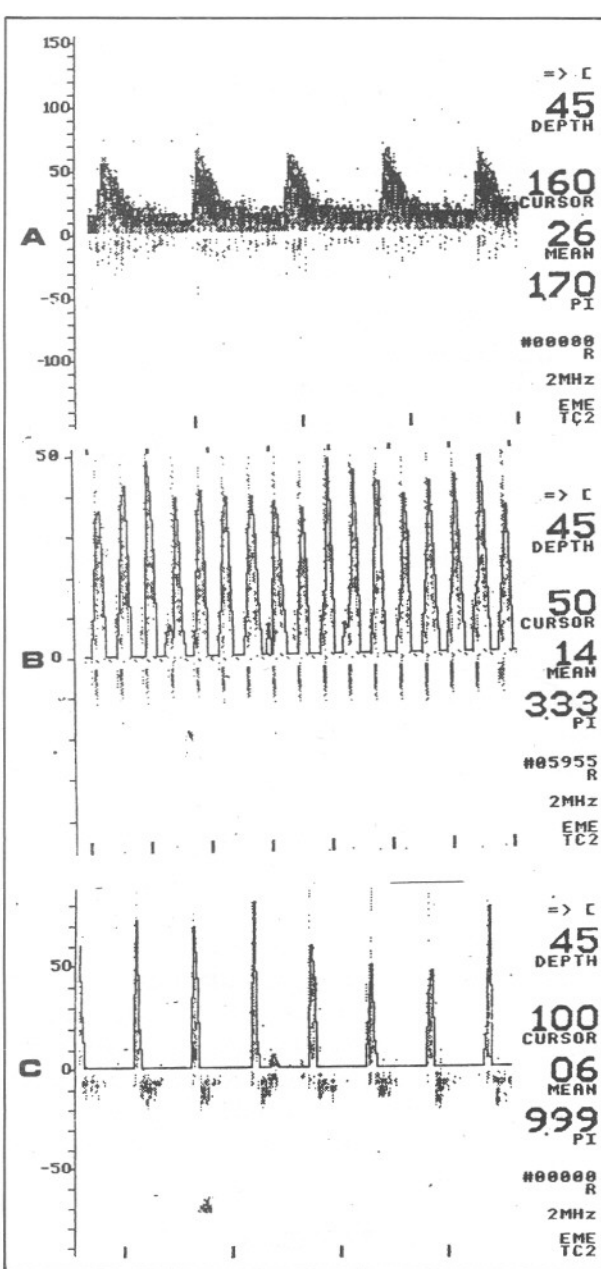
BEYİN ÖLÜMÜ

Kafa travması, SAK, menenjit, ilaç entoksikasyonu, MCA trombozu, kurşunla yaralama gibi çok de-ğişik nedenlerden yoğun bakımda tedavi altına alınan komadaki 30 hastada yaptığımız TCD incelemesinde, ICP'in terminal dönemde aşırı artışına bağlı olarak öncে PI'nin arttığı, ortalama hızın azaldığı, ardından di-astolik akımın azaldığı ve nihayet kaybolduğu görülmüş, arterlerde sadece sistolik dolumun olduğu, di-astolde arterdeki kan sütununun artan periferik di-rençle akımın ters yönünde proksimale doğru hareket ettiği saptanmıştır (To and fro movement). Bu olay se-rebral arterlerin kompliansının bir sonucudur (Şe-kil 12). 30 hastanın tümü, bu tipik beyin ölümü trasesinin alındığı anı takip eden ilk 3 gün içinde ex olmuşlardır. Diğer taraftan klinik muayenede beyin sapi refleksleri ve spontan solunumun kaybolduguğunun saptandığı ilave 2 olguda TCD basal intrakranial ar-terlerde akımın devam ettiğini göstermiştir.

Hiçbir sinyalin alınamadığı olgularda bu durumun hiperostoza bağlı olabileceği hatırlanmalı ve TCD'in böyle hastalarda tanıda yardımcı olamadığı bilinmelidir. Günümüzdeki uygulamasında TCD, klinik be-yin ölümü tanısını destekleme açısından çok yararlı bir yöntem olarak ortaya çıkmaktadır. Beyin ölümü-nün erken teşhisi transplantasyon cerrahisinde çok önemlidir.

TARTIŞMA

Noninvazif, portabl, ucuz, ayakta, ameliyat esna-sında veya hasta uyurken gerçekleştirilebilen, tekrar-lanabilir bir tetkik olan TCD'in avantajları çoktur. Bununla birlikte TCD elle tutulan bir proba yapıldı-ğından sonuç tetkiki yapan teknisyenin bilgi, dene-yim ve maharetine bağlıdır. Serebral arterlerin fizyoloji ve anatomisinin, infarktin fizyopatolojisinin derinlemesine bilinmesi doğru bir değerlendirmenin yapılabilmesi için gereklidir. Anatomik varyasyonla-rın, alışılmamış damar pozisyonlarının, basıların ve kıvrımların hastalıklardan ayırdedilmesi zor olabilir. Diğer taraftan hasta hareket etmeden durabilmelidir, bu nedenle TCD ajite hastalarda yapılamaz.



Şekil 12 : Beyin ölümü trasesi. A) Serebral travma sonrasında akım yavaşlamaya ve PI yükselmeye hazırlanıyor. B) 2 gün sonra keskin, sıvı sistolik akım ve kaybolmuş diastolik akım alınıyor. Akım hızı azalmış ve PI yükselmiş. C) İl erleyen saatlerde diastolde ters akım alınıyor. Akım hızı durma noktasında (6 cm/s) ve PI 9.99...

PaCO₂ akım hızını etkilediğinden TCD tekrarlanlığında hastalarda en azından solunum frekansının aynı olmasına dikkat edilmelidir : beyin kan akım hızı, PaCO₂'deki 1 mm Hg'lik azalmaya %4'lük azal-

ma ile eşlik eder (3). Hipokapnide diastolik hız 20 cm/s azalabilirken hiperkapnide bu değer 80 cm/s'ın artabilmektedir (19). Bu değişim küçük damarlardan ilgilendirip çapı 2.5 mm'den büyük damarlarda ortaya çıkmamaktadır. Entübe ve yapay solunuma bağlı hastaların Doppler yorumlarında bu özellik dikkate alınmalıdır. CO₂'e reaktivitenin kaybolduğu diğer bir durum AVM'lardır ve bu özellik ayırcı tanıda yer almaktadır.

Valsalva testinde ve ortostatik hipotansiyon durumunda da diastolik hız azalmaktadır.

Hematokrit, sistemik kan basıncı, intrakranial basınç ve beyinin entellektüel çalışması da hız ölçümelerini etkilemektedir.

Özetle beyin kan akımına etki eden faktörler sunlardır :

- Yaş
- Sistemik Tansiyon
- ICP
- Kan Viskozitesi
- Kollateral Dolaşım
- Otoregulasyon
- CBF
- Hematokrit
- PaCO₂
- Kardiak Output
- Beyin Çalışma Yoğunluğu

En sağlıklı sonuç bir damarı diğer intrakranial damarlarla veya aynı arteri daha ileri bir tarihte veya farklı farmakolojik, fizyolojik şartlar ve uyarılar altında veya aynı arterin farklı bölgelerini birbirleriyle karşılaştırarak alınabilir.

Bilateral simetrik patolojileri ve aynı anda geniş bir röleği tutan stenozları farketmek zordur. Anjiyografi anatominik, TCD ise fizyolojik bilgiler sağlar ve birbirinin tamamlayıcısıdır. PET, SPECT, XeCT, MRI spektroskopisi belirli beyin bölgelerinin metabolizma ve perfüzyonları hakkında kantitatif bilgiler verir ancak major bazal arterlerdeki akım hakkında direkt veriler sağlayamazlar.

Kabul görmüş TCD kullanım alanları aşağıdadır:

1 – %65'den büyük bazal arter stenozlarının teşhisinde,

2 – Önemli stenoze veya tromboze damarların bulunduğu bölgelerin kollateral dolaşımının incelemesinde,

3 – Çeşitli nedenlerden, özellikle SAK'yi takiben ortaya çıkan vazospazmin değerlendirilmesi ve takibinde,

4 – AVM'ları saptamak ve besleyici damarlarının akım özelliklerini incelemekte.

5 – Beyin ölümü ön tanısı konulan vakalarda intrakranial kan akımlarının tetkikinde.

Henüz yaygın kullanım alanı olmayan, araştırma halindeki TCD uygulamaları şunlardır:

1 – Migrenli hastalarda.

2 – Carotis endarterektomileri, kardiopulmoner by-pass ve diğer serebrovasküler, kardiovasküler ameliyatlarda.

3 – Füziform anevrizmalar gibi damarların genişlediği vaskülopatilerde.

4 – Serebral damarların otoregülasyonlarının ve fizyoljik farmakolojik cevaplarının incelenmesinde.

5 – Orak hücreli anemi, Moya-Moya, nörofibromatoz gibi vaskülopatileri olan çocukların değerlendirilmelerinde.

6 – Akut iskemik stroku takip eden saatlerde intrakranial arterlerin çalışmasının (permeabilitesinin) araştırılmasında.

TCD ve VAZOSPAZM

Vazospazm SAK toblosunda önemli bir yer işgal eder ve morbiditenin %10-30'undan sorumludur. (22, 27, 29) Anjiografinin komplikasyonları vazospazmda 5 ila 1p kat artmaktadır (11, 21, 32, 33, 36) ve bu nedenle de anjiografi öncesi vazospazm takibinin yapılması önem kazanmaktadır. Aaslid (3) spazmin opere olmuş ya da olmamış olsun MCA ve ICA'de A1 ve P1'den daha sık görüldüğünü bildirmiştir, ayrıca subaraknoid mesafedeki kanın miktarının spazmin şiddetini artırdığını ve ameliyat tarafında spazmin postop dönemde daha fazla olduğunu bildirmiştir. Serimizdeki sonuçlar bu bulgular ile uyumludur. Bu durum ameliyatta kanın boşaltılmasının spazmi azalttığı görüşünü desteklememektedir(3). Birçok klinikte MCA'de sistolik akımın 120 cm/san. olması anjiografi ve ameliyatı erteleme nedenidir. (7). Geç iskemik defisit SAK'lı hastaların %20-36'sında kanamanın 4-16'inci günleri arasında görülür (41) ve elimizdeki TsD verilerine göre bunun sorumlusu vazospazmdir.

Anjiografi ile yapılan spazm takipleri (24, 40, 46) kanamanın ilk üç günü vazospazmin çok nadir olduğunu (%0-4,2) olduğunu, 7 ila 10. günlerde görme sikliğinin arttığını ve 10 ila 17. günler arasında en üst

seviyeye ulaşıp 41. günden sonra en aza indiğini göstermiştir. Buna karşılık TCD ise ilk üç gün olguların %58'inde hafif derecede spazm olduğunun kanamanın 4 ila 10. günlerinde tüm olgularda spazm görüldüğünü. Vm eğrisinin 7-12. günler arasında en üst noktaya ulaşlığını göstermiş tır (3). TCD ile spazm takibi mevcut alternatifler içinde en kolay, en ucuz, riski en az olanıdır. Spencer lümende %80 daralmaya kadar akımın azalmadığını, lumen daralmasının debi artışı ile telafi edildiğini göstermiştir (42).

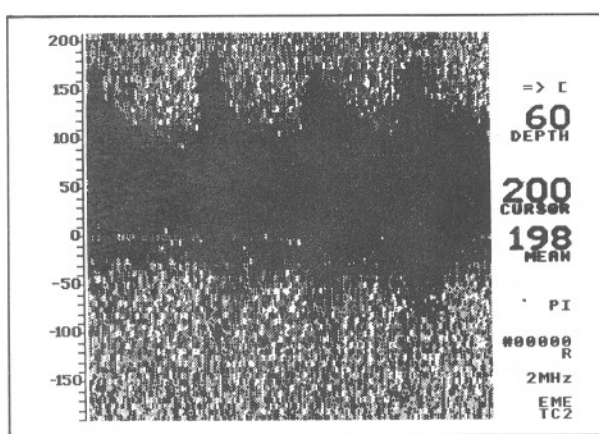
Erken anevrizma cerrahisini takiben, geç dönemde ve %2-20 arasında değişen oranlarda ortaya çıkan iskemik defisitlerden postoperatif vazospazm sorumlulu tutulur (4, 13, 17, 22, 28, 47). Serimizdeki üç vakada ($3/14 = %21$) geç postop defisite rastlanmıştır; hipervolemi, kontrollü hipertansiyon (160-150 / 90-70) ile bu olgularda kalıcı sekel önlenmiştir. TCD'de hız artışı klinik semptomlardan önce ortaya çıktıından, TCD önleyici tedbirleri alabilemeye mümkün kılmaktadır ve SAK'da prognostik faktör olarak kullanılmaktadır. Aaslid .Vm 120-140 cm/san. arasında olan hastaları (3) Hunt ve Hess'e göre grade I-IIde iseler cerrahiye alırken, 200 ve üzerindekilerin ameliyat ve anjiolarını gradeleri düşük dahi olsa ertelemektedir.

Anevrizma cerrahisinde mortalite 2. kanamaya ve geç iskemik defisitlere bağlıdır. 2. kanama erken cerrahi (ilk üç gün) ile önlenebilir. Geç iskemik defisit ise büyük oranda vazospazma bağlıdır ve kalsiyum kanal blokerleri, hipertni ve/veya hipervolemi ile bazı iyi sonuçlar alınabilmektedir. Vazospazm daha önceki sadece anjiografi ile teşhis ve takip edilebilirken TCD bu görevi atravmatik ve tekrarlanabilir şekilde yerine getirmektedir.

Caplan'a göre (8) MCA'deki maksimum hızın 140 cm/san. ye ulaşması anjiografik daralmanın habercisidir, 200 cm/san. üzerindeki hızlar ise ciddi anjiografik vazospazm belirtisidir ve geç serebral iskemiye öncülüktür etmektedir (Şekil 13). Harders (19) geç iskemik semptomlar gösteren hastalarının tümünde TCD de hızın 120 cm/san. olduğunu bildirmiştir.

TCD ile vazospazmin tesbit edilememesi : çok distal arterlerdeki spazmlarda akımın çok azlığı durumlarda ($Vm > 6\text{cm/san.}$), KIBAS nedeniyle akım hızının azlığı ve pulsatilitenin bozulduğu olgularda görülür.

Doppler ile saptanan %93,1'lik vazospazm oranları anjiografik oranların çok üzerindedir. Bunun nedeni Doppler'in spazm konusunda anjiografiden daha hassas olmasıdır (2, 15).



Şekil 13 : Geç serebral iskemiye yol açan major vazospazm: M1 de akım hızı 198 cm/s. SAK'nın 9. gününde saptanan bu spazm hemiparezi, disfazi ve desorientasyon ile sonuçlanmıştır.

TCD ve AVM

AVM'i besleyen damarlar Doppler'de yüksek hız ve düşük PI' gösterirler (15).

Normal damarlar vazodilatator ilaçlara ve hipo/hiperventilasyona bağlı end-tidal pCO_2 'ye reaksiyon gösterirken AVM besleyicileri ile kavernöz ve venöz anjioomlar böyle davranışmazlar. Bu da tanıda ek parametredir. Nitikim AVM'lu vakalarda soluna n havaya 70 mm Hg basınçlı CO_2 ilave edilerek oluşturulan hiperkapninin AVM besleyici damarlarda CO_2 'e reaktiviteye hiç veya çok az yol açtığı, beyinin diğer damarlarının ise CO_2 'e reaksiyon vermeye devam ettiği saptanmıştır : 1 mm Hg'lik PaCO_2 de gışıklığine AVM besleyicilerinin %0-2,4 gibi normalin çok altında bir değerle reaksiyon gösterdiği, beyinin AVM'den uzaktaki normal damarların ise %3,1'lik akım değişmesi ile cevap verdiği gösterilmiştir (3). Ancak genelde sadece 2 cm³'den büyük orta ve büyük AVM'lerdeki hemodinamik değişiklikler TCD yle saptanabilmektedir.

Bir AVM'yi besleyen arterdeki akım hızı, besleyici arterin boyu ile ters, bu arterin çapı ve AVM'nin büyüğlüğü ile doğru orantılıdır. Ayrıca bu arterdeki rezistans endeksinin arterin boyu ile doğru, akım hızı ve AVM'in büyüğlüğü ile de ters o rantlı olduğu gösterilmiştir (20). AVM'nin besleyici damarlarındaki akımın normalden hızlı oluşunun yanında bu besleyicilerin normalden daha geniş oldukları ta düşünülünce debinin ne denli fazla olduğu ortaya çıkar. Cerrahi eksizyondan sonra besleyici damarlarda akım hızla azalır, diastolik basınçla birlikte lokal serebral perfüzyon da düşer.

TCD ve CVA

MCA'deki akım hızı bir stenozun distalinde düşer, ancak MCA akumunu etkileyen genellikle ICA'deki %90'ın üzerindeki stenozlardır : darlık bölgesinde sistolik ve ortalama hız artar ve akım profili bifazik hale gelir, darlığın distalinde ise hız ve pulsatile azalır. Stenoz %60-80'den fazla ise stenozun distalinde hız düşer, ve girdap akımları gözlenir (10).

TCD, MCA truncusundaki %60 ve üzerindeki dalları başarı ile gösterebilmektedir. Ayrıca baziler arterin proksimal ve orta 1/3'lük kısımları da güvenilir bir şekilde aterom plağı/stenoz açısından incelenilmektedir. CVA'da kardiyak ve exstra kranial bir sebeple yoksa V/B sistem ve intrakranial karotiste stenozan bir lezyon aranmalıdır.

Acetazolamide ile stimülasyondan sonra serebrovasküler rezerv kapasitesini araştırmada TCD, Xe133 ile yapılan CBF tetkiki kadar güvenilir sonuçlar vermiş, uygulaması kolay bir metod olarak görülmüşdür (37). MsA akım hızı, RCBF ölçümleri ile iyi korelasyon göstermiştir (5, 34).

Hastalarda patolojik ile sağlıklı hemisfer arasındaki akım farkının, hastadan elde edilen değerin ilgili yaş gurubunun istatistiksel "normal" değerine olan farkından daha anlamlı olduğunu düşünmektedir. Hastada CT'de lezyon saptanan hemisfer patolojik değerleri verirken, kontrolateral hemisfer kontrol değerlerini verebilmekte, bu da takipte kolaylık sağlamaktadır. Ancak bu metod karşı hemisferden besleyici dal alan AVM'larda kullanılamayacağı gibi, tüm basal arterleri etkileyen yaygın vazospazmda da sağlıklı sonuçlar vermemektedir. Diğer taraftan serebral arterlerin distal uç dallarının trombozları da stenozları gibi Doppler ile incelenmemektedir. Ayrıca PCA veya A1 stenozları, bu arterlerde sıklıkla görülen hipoplazilerle karışabilmektedir.

Akut strok geçiren bir hastada TCD'in normal olması durumunda kalpte veya ekstrakranial boyun damarlarında emboliyen bir lezyon ya da intraserebral hemorajik bir olay akla gelmelidir.

V/B sisteminin incelenmesi supratentoriel sistemin daha çok tecrübe gerektirir : V/B bileşkeyi tesbit zordur, vertebral arterlerden birinin hipoplazik olduğu durumlar siktir ve patolojik olarak yorumlanabilir. Ayrıca ekstrakranial vertebral arter trombozunun intrakranial hemodinamiğe etkisi olmayabilir çünkü oksipital arter distal vertebral arteri besleyebilir. 90 mm den daha derinlerde sinyal/parazit oranı zayıf-

ladiğinden tanı güçleşmektedir. Baziler arterin proksimal tikanmalarında, distal reflux probun algılayabileceği hızın (6 cm/san) altında olabilir.

Sıklıkla karşılaşılan hatalı yorum nedenleri şöyle özetlenebilir : 1) Reaktif hipereminin stenoz zannedilmesi 2) Hiperdinamik bir kollateralın stenoze imiş gibi kabul edilmesi, 3) Vazospazminstenoz olarak kabul edilmesi, 4) Willis poligonunu n anatomik varyasyonlarının patolojik olarak kabul edilmesi 5) Yer kaplayan lezyonların basisıyla, arterlerin olmaları gereken yerde bulunmamalarının yanlış yorumlanması, 6) Hiç de nadir olmayarak düşük kaliteli bir yalancı negatif anjiografinin TCD sonucunu yalancı pozitif hale getirmesi. Bu nedenle CT, LP, klinik sorulama ve muayene TCD'i yorumlarken dikkate alınmalıdır.

TCD ve KARDİOVASKÜLER CERRAHİ

Kalp cerrahisinde beyin hasarı major bir komplikasyon olarak devam etmektedir ve onbinlerce kalp ameliyatı gerçekleştiriliyormasına karşın hala beyin hemodinamiği perop olarak takip edilmemektedir. Major kardiovasküler cerrahi TCD takibi birçok vakada beyin damarlarında ameliyat esnasında oto-regülasyonun bozulduğunu göstermiştir (8)

Bazı merkezlerde endarterektomilerde klempajdan sonra sistolik akım $> 10 \text{ cm/s}$ ise shunt konmaktaadır (7). MCA akımı 12 cm/s'ının altına düşüğünde EEG'de bozulmalar görülmüş, shunt'taki kötü çalışma TCD ile hemen farkedilmiştir. Ringelstein MCA'de 30 cm/s lik akımın hastayı iskemik riskten korumaya yettiğini belirtmiştir. (39)

TCD ve KİBAS, BEYİN ÖLÜMÜ

Intrakranial basınç (ICP) ölçümleri ile beraber yapılan TCD takipleri göstermiştir ki, ICP yükseltikçe sistolik ve diastolik hızlarda progresif bir azalma olur ve bu azalma diastolik hızda daha erken ve yüksektir. Bu esnada pulsatilité de artmaya başlar. Önce pandüller akım ve daha sonra diastolde ters akım gözlenir. Tipik yansıyan akım, ani-keskin sistolik akım ve ters veya kaybolmuş diastolik akım beyin ölümlerinin bir çoğunda mevcuttur.

Yoğun bakımda entübe hastalarda solunum hareketlerine bağlı olarak MCA hızında sinüzoidal bir ritmin gözlenmesi serebral otoregülasyonun kaybolduğunu gösterir. Bu hastalarda pCO_2 konstant olmalıdır yoksa hiperkapniye bağlı vazospazmin yolaçtığı akım hızlanması yanlış yorumlara neden olabilir.

Intrakranial basınçtaki değişikliklerin TCD traseşi ile uyum içinde olduğu ve ICP arttıkça (serebral perfüzyon basıncı azaldıkça) Doppler'de ortalama hızın azaldığı ve Pourcelot indeksinin yükseldiği gösterilmiştir (Pourcelot indeksi = $(\text{Maximum sistolik hız} / \text{Diastol sonu hız}) / (\text{Maksimum sistolik hız})$) (6). Sistemik stenoz ve SAK'a bağlı yaygın vazospazm olmamak ve PaCO_2 sabit tutulmak şartıyla ($\text{PaCO}_2: 30-35 \text{ mm Hg}$) intrakranial basınç (ICP), V_m , Pourcelot indeksi ve ortalama sistemik kan basıncı yardımıyla yaklaşık olarak hesaplanabilmektedir (23).

Posttravmatik komada metabolizma doğal olarak azalır. Böylece CBF düşmüştür, ICP azaltılmıştır. Barbiturat koması nöronal sinaptik aktiviteyi bloke ederek aynı mekanizmayı yapay olarak sağlamaya yöneliktir ve metabolizma hızı %50 azaltılmaya çalışılmaktadır. Bu hedefe CO_2 'e reaktivitesi korunan hastalarda ulaşılabiligidenden CO_2 'e reaktivite pronostik değer taşımaktadır. Bilindiği gibi TCD ile CO_2 'e reaktivite araştırılabilmektedir.

Posttravmatik vazospazm bir çok kereler bildirilmiştir (9,12,14,25,30,31,35,43,44,48,49), görülme sıklığı %2-31 arasında değişmektedir (43). ICP veya hematomin basısı bu spazmdan sorumlu değildir. SAK sonrasında görülen spazma çok benzemektedir ve bundan kan yıkım ürünlerinin sorumlu olduğu düşünülmektedir. Spazm unilateral olabilmekte ve çözüldükçe nörolojik deficit de gerilemektedir. Bu hastalarda anjiografi risklidir (26,38). Pasqualin'in bir olgusunda (35) akut subdural hematomun boşaltılmasından 10 gün sonra deficit gelişmiş, yapılan anjiyografide spazm saptanmış ve bundan Sylvian fissürdeki kan sorumlu tutulmuştur.

Posttravmatik, fokal/diffüz serebral injury'de hastalarda V_m MCA azalmış, ICP artmış, serebral perfüzyon basıncı (CPP) azalmıştır. Hematom (varsız) boşaltılınca V_m normale döner, yoksa $\text{ICP} < 31 \text{ mm Hg}$ veya $\text{CPP} > 50 \text{ mm Hg}$ olursa V_m daha da azalır ve diastolik akım kaybolur.

Diffüz aksonal injury'de, beyin ödemi olmayan hastalarda прогноз yaralanmış aksonların yer ve miktarına bağlıdır, ICP artmaz ve iskemi yoktur. V_m MCA azalmıştır çünkü hasta komada olduğundan O_2 kullanımı, metabolizma hızı azalmıştır. Düşük GCS'da görülen düşük hızlar da bunu düşündürmektedir.

Yaygın beyin ödeminde ise ICP artmış olmasına rağmen V_m artar. Ödem serebrovasküler dilatasyona bağlanmıştır. Bu yüzden bu hastalarda serebral kan

hacmi artar, CBF hızlanır yani yüksek debi durumu söz konusudur. Vm bu nedenle yükselmiştir. Beyin ödeminde posttravmatik SAK'ya bağlı olarak (veya SAK olmadan da gelişebilecek) vazospazm nedeniyile de Vm artmış olabilir.

Beyinin CO₂ reaktivitesinin korunduğu hastaların da yüksek ICP ve düşük kan akımı durumunda hiperventilasyon ek iskemiye yol açar. Buna karşılık ICP ile birlikte kan hacmi ve kan akım hızı da yüksek ise hiperventilasyon en uygun tedavidir.

TCD'de ölçülenkan akım hızı ile CBF arasında iyi bir korelasyon vardır (5).

Beyin ölümü irreversible fatal bir sonun teşhisidir. Organ nakilleri ve yoğun bakım tedavisinin devamı açısından teşhisi önemlidir. Kan sütununun hareketi bidireksyonel olur olmaz EEG izoelektrik hatta dönmektedir. (3) Bulguların, tetkiki yapanın maharetine bağlı olması bu metodun standart kullanımını zorlaştırmaktadır. TCD henüz sadece klinik muayeneye varılan beyin ölümü teşhisini teyid veya reddetmek için kullanılmaktadır. Nitekim serimizde nörolojik muayene ile beyin ölümü düşünülen 3 hasta TCD yeterli beyin akımının devam ettiğini göstermiştir.

Beyin ölümü klinik tarif olarak, vücutundan geri kalan bölümünde dolaşım devam etse de tüm beyin fonksiyonlarının irreversible ve total kesintisidir. Ülkemizde klinik beyin ölümü tanısı belirli şartlar altında yapılan EEG ve/veya serebral angiografi ile desteklenmektedir. Serebral kan akımı, sistemik kan basıncı, kafa içi basıncı eşit olduğunda, yani serebral perfüzyon basıncı olduğunda durur. Serebral kan akımının darduğu en güvenilir şekilde 4 kanallı angiografi ile gösterilir. Ancak bir çok nedenden bu protokolün rutin olarak uygulandığı merkez sayısı çok azdır. TCD ile beyin ölümü açısından incelenecak hastalarda şu şartlar aranmalıdır: 1- Ağrılı uyarana cevabı olmaması, 2- Apne ile beraber, beyin sapi reflekslerinin bulunmaması 3- Uyuşturucu komasında olmaması, 4- Vücut ısısının 34.5°C atında olmaması, 5- Tetkikden hemen önce kardiak arrest geçirmemiş olması gerekmektedir.

Tipik trase, keskin, sivri, sistolik akım ve kaybolmuş veya ters dönmüş diastolik akım şeklindedir.

Bu yazımızda ön sonuçlarını sunduğumuz TCD uygulaması ile ilgili değişik patolojilere ait değerlendirilmeler, aynı birer çalışma şeklinde sunulacaktır.

KAYNAKLAR

- Aaslid R, Markwalder T, Nornes H; Noninvasive transcranial Doppler ultrasound recording of flow velocity in basal cerebral arteries. *J Neurosurg* 57: 769-774, 1982
- Aaslid R, Huber P, Nornes H; Evaluation of cerebrovascular spasm with transcranial Doppler ultrasound. *J Neurosurg* 60:37-41, 1984
- Aaslid R; Transcranial Doppler Sonography. Springer-Verlag Wien New York 1986
- Allen GS; Cerebral arterial spasm-a controlled trial of nimodipine in patients with subarachnoid hemorrhage. *New Engl J Med* 38:619-624, 1983
- Bishop CCR, Powell S, Rutt D, Browse NL; Transcranial Doppler measurement of middle cerebral artery blood flow velocity: A validation study. *Stroke* 17:913-915, 1986
- Bode H; Pediatric Applications of Transcranial Doppler Sonography. Springer-Verlag Wien New York, 1988
- de Bray JM; Transcranial Doppler and cerebral flow. in Neurology. Cerebral Circulatory Explorations Unit. C.H.R. 1, avenue de l'Hotel-Dieu. 49033 qngers Cedex France
- Caplan LR, Brass LM, DeWitt LD, Adams RJ, Gomez C, Otis S, Weschler LR, von Reutern GM; Transcranial Doppler ultrasound: Present status. *Neurology* 40: 696-700, 1990
- Columella F, Delzanmo GB, Gaist G, Piazza G; Angiography in traumatic cerebral lacerations with special regard to some less common aspects. *Acta radiol., Diag.*, 1:239-247, 1963
- Dana DeWitt L, Wechsler R; Transcranial Doppler. *Stroke* 19:915-921, 1988
- Earnest F, Forbes G, Sandok BA, Piepgas DG, Faust RJ, Ilstrup DM, Arndt LD; Complications of cerebral angiography prospective assessment of risk. *AJNR* 4:1191-1197, 1983
- Fasano VA, Broggi G, DeNunno T, Lombard GF, Baggio P, Bratac GB; Modifications vasculaires dans les traumatismes aigus. *Nuurochirurgie*, 12:373-388, 1966
- Fischer CM, Roberson GH, Ojemann RG; Cerebral vasospasm with ruptured saccular aneurysm-the clinical manifestations. *Neurosurgery* 1:245-248, 1977
- Freidenfelt H, Sundström R; Local and general spasm in the internal carotid system following trauma. *Acta radiol., Diag.*, 1:278-283, 1963
- Grolimund P, Seiler RW, Aaslid R, Huber P, Zurbruegg H; Evaluation of Cerebrovascular Disease by Combined Extracranial and Transcranial Doppler Sonography. *Stroke* 18:1018-1024, 1987
- Halsey JH; Letters to the Editor. *Stroke* 22(4):533-534, 1991
- Hamer J; The significance of cerebral vasospasm with regard to early delayed aneurysm surgery. Preliminary results of early surgery. *Acta Neurochir* 63:209-213, 1982
- Harders A, Gilsbach J; Transcranial Doppler sonography and its application in extracranial-intracranial bypass surgery. *Neuro Res* 7:129-1t1, 1985
- Harders A; Neurosurgical Applications of Transcranial Doppler Sonography. Springer-Verlag Wien New York 1986
- Hassler W; Hemodynamic aspect of cerebral angiomas. *Acta Neurochir Suppl* 37:38-108, 1986
- Huckman MS, Shenk GJ, Neems RL, Tiper T; Transfemoral cerebral arteriography versus direct percutaneous carotid and brachial arteriography: A comparison of complications rates. *Radiology* 132:93-97, 1979
- Kassell NF, Boarini DJ; Patients with ruptured aneurysm: Pre- and postoperative management. Wilkins RA (Ed), in *Cerebral arterial spasm*. Williams and Wilkins, Baltimore London, 1980
- Klingelhöfer J, Conrad B, Benecke R, Sander D, Markakis E; Evaluation of intracranial pressure from transcranial Doppler studies in cerebral disease. *J Neurol* 235:159-162, 1988

24. Kodama N, Mizoi K, Sakurai Y, Suzuki J: Incidence and onset of vasospasm. Wilkins RH (Ed), in Cerebral arterial spasm. Williams and Wilkins, Baltimore Londonp 1980
25. Leeds NE, Reid ND, Rosen LM: Angiographic changes in cerebral contusions and intracerebral hematomas; *Acta radiol., Diag.*, 5:320-327, 1966
26. Lindner DW, Hardy WG, Thomas LM: Angiographic complications in patients with cerebrovascular disease. *J Neurosurg* 19:179-185, 1962
27. Ljungwren B, Brandt L: The outcome in 100 consecutive cases of early aneurysm surgery. *Acta Neurochir* 63:215-219, 1982
28. Ljunggren B, Brandt L, Saveland H, Nilson PE, Cronqvist St, Andursson KE, Vinge E: Outcome in 60 consecutive patients treated with early aneurysm operation and intravenous nimodipine. *J Neurosurg* 61:864-873, 1984
29. Ljunggren B, Saveland H, Brandt L: Aneurysmal subarachnoid hemorrhage-historical background from a scandinavian horizon. *Surg Neurol* 22:605-616, 1984
30. Macpherson P, Graham DI: Arterial spasm and slowing of the cerebral circulation in the ischaemia of head injury. *J Neurol Neurosurg Psychiatry*. 36:1069-1072, 1973
31. Macpherson P, Graham DI: Correlation between angiographic findings and the ischemia of head injury. *J Neurol Neurosurg Psychiatry*. 41:122-127, 1978
32. Mani RL, Eisenberg RL, McDonald EJ, Pollack JA, Mani JR: Complications of catheter arteriography: Analysis of 5000 procedures. I. Criteria and incidence. *Am J Roentgenol* 131:861-865, 1978
33. Mani RL, Eisenberg AL: Complications of catheter cerebral arteriography: Analysis of 5000 procedures. II. Relation of complications rates to clinical and arteriographic diagnoses. *Am J Roentgenol* 131:867-869, 1978
34. Markwalder TM, Grolimund P, Seiler RW: Dependency of blood flow velocity in the middle cerebral artery on end-tidal carbon dioxide partial pressure-A transcranial ultrasound Doppler study. *J Cereb Blood Flow Metab* 4:368-372, 1984
35. Pasqualin A, Vivenza C, Rosta L, Licata C, Carazzani P, Da Pian R: Cerebral vasospasm after head injury. *Neurosurgery*, 15:855-85x, 1984
36. Perret G, Nishioka H: An analysis of the diagnostic value and complications of carotid and vertebral angiography in 5484 patients. *J Neurosurg* 25:98-114, 1966
37. Piepras A, Schmiedek P, Leinsinwer G, Haberl RL, Kirsch CM, Einhaupl KM: A Simple Test to Assess Cerebrovascular Reserve Capacity Using Transcranial Doppler Sonography and Acetazolamide. *Stroke* 21:1306-1311, 1990
38. Pool H, Jacobson S, Fletcher TA: Cerebral vasospasm -clinical and experimental evidence. *JAMy* 167:1599-1601, 1958
39. Ringelstein EB: A Practical Guide to Transcranial Doppler Sonography. Weinberger J (Ed), in Noninvasive Imaging of Cerebrovascular Disease. Alan R. Liss Publishers. New York, 1989:75-121
40. Saito J, Sano K: Vasospasm after aneurysm rupture: Incidence, onset and course. Wilkins RH (Ed), in Cerebral arterial spasm. Williams and Wilkins, Baltimore London 1980
41. Sekhar LN, Wechsler LR, Yonas H, Luyckx K, Obritz W: Value of Transcranial Doppler Examination in the Diagnosis of Cerebral Vasospasm after Subarachnoid Hemorrhage. *Neurosurgery* 22:813-821, 1988
42. Spencer MP: Blood flow arteries. Spencer MP, Reid JM (Eds), in Cerebrovascular evaluation with Doppler ultrasound. The Hague Boston London: Martynus Nijhoff Publishers, 1981: 97-112
43. Suwanwea C, Suwanwela N: Intracranial arterial narrowing and spasm in acute head injury. *J Neurosurg.*, 36:314-323, 1972
44. Vilato RJ, LeBeau J: Le spasme des artères du cercle de Willis au cours des hémorragies traumatiques ou anévrismales. *Neurochirurgie*, 8:217-221, 1962
45. Weber M, Grolimund P, Seiler R W: Evaluation of Posttraumatic Cerebral Blood Flow Velocities by Transcranial Doppler Ultrasonography. *Neurosurgery* 27(1): 106-112, 1990
46. Weir B: The incidence and onset of vasospasm after subarachnoid hemorrhage from ruptured aneurysm. Wilkins RH (Ed), in Cerebral arterial spasm. Williams and Wilkins, Baltimore London 1980
47. White RP: Overview of the pharmacology of vasospasm. Wilkins RH (Ed), in Cerebral arterial spasm. Williams and Wilkins, Baltimore London 1980
48. Wilkins RH, Odom GL: Intracranial arterial spasm associated with craniocerebral trauma. *J Neurosurg.*, 32:626-v33, 1970
49. Wilkins RH: Trauma induced cerebral vasospasm. Wilkins RH (Ed), in Cerebral Arterial Spasm. Baltimore: Williams and Wilkins, 1980: 472-475